

## Пороговые чувствительности (анализ по высоте ступенек на кривой выхода)

Элемент	Состав образца	Энергия протонов, Мэв		Энергия $\gamma$ -квантов	Доза облучения, мкк	Пороговая чувствительность, %	Пороговая чувствительность при дозе облучения $10^5$ мкк
		$E_{p_1}$	$E_{p_2}$				
B	$B_2O_3 + Li_2O$	500	900	9,5—12,3	1000	0,45	$1,5 \cdot 10^{-2}$
Li	$Li_2O + B_2O_3$	300	500	16,5—20,0	1000	$1,0 \cdot 10^{-2}$	$1,0 \cdot 10^{-3}$
Li	$Li_2O + SiO_2$	300	500	14,0—20,0	1000	$8,0 \cdot 10^{-3}$	$8,0 \cdot 10^{-4}$

облучения образца полупроводникового кремния на кривой распада можно четко выделить участок, который характеризует наличие изотопа  $F^{18}$ . Однако, как показали исследования, при снятии поверхностного слоя толщиной  $\sim 10$  мкм после облучения образца активность, обусловленная  $F^{18}$ , в кремниевой матрице не наблюдается. Это указывает на значительное загрязнение поверхностного слоя кремния кислородом. Поэтому перед измерением активности образца необходимо удалять поверхностный слой.

В качестве эталонов использовались образцы кремния с содержанием бора  $10^{18}$ — $10^{19}$  атом/см<sup>3</sup>. Время облучения образца и эталона было выбрано равным 20 мин, время охлаждения — 40 мин, время счета наведенной активности — 40 мин. Пороговая чувствительность определения бора составила  $10^{-6}$ .

Определение кислорода проводилось по изотопу  $F^{18}$  с периодом полураспада 110 мин, образующемуся по реакциям  $O^{16}(\alpha, d)F^{18}$  и  $O^{16}(\alpha, pn)F^{18}$  с порогами 20,4 и 23,2 Мэв соответственно [4,5]. При энергии  $\alpha$ -частиц 25 Мэв на ядрах атомов примесей осуществляются реакции  $B^{10}(\alpha, n)N^{13}$ ,  $C^{12}(\alpha, n)O^{15}$  и  $N^{14}(\alpha, n)F^{17}$ . Позитронноактивные ядра  $N^{13}$ ,  $O^{15}$  и  $F^{17}$  имеют периоды полураспада 10,1; 2 и 1,1 мин соответственно. При охлаждении образца в течение 40 мин в случае отсутствия бора в нем вся активность будет обусловлена  $F^{18}$ . Анализ распределения кислорода по глубине образца показал, что в слое толщиной  $\sim 10$  мкм содержание кислорода на порядок выше, чем в матрице. Как и в случае определения бора, с поверхности образца перед измерением удалялся слой толщиной 10 мкм.

В качестве эталона использовали оптический кварц. Время облучения образца составляло 110 мин, время счета наведенной активности — 110 мин. Чувствительность определения кислорода была равна  $5 \cdot 10^{-6}$ . При наличии в кремнии бора измерение активности образца производилось через 2 ч после облучения. Чувствительность определения кислорода в этом случае составляла  $10^{-5}$ . Воспроизводимость результатов при повторных измерениях была не хуже 20%.

Под действием протонов с энергией  $\sim 1$  Мэв на ядрах легких элементов происходят реакции  $(p, \gamma)$  и  $(p, \alpha\gamma)$ , которые имеют ярко выраженный резонансный характер, что значительно облегчает возможность их селективного определения. По выходу  $\gamma$ -излучения этих реакций производилось определение лития [6], бериллия, бора [7], фтора и других элементов. Пороговые чувствительности при дозе облучения (общая сумма зарядов протонов, бомбардирующих мишень) порядка  $10^3$  мкк составляет  $n (10^{-2} - 10^{-5})\%$ .

Легкие элементы можно селективно определять по высоте резонансных ступенек, которые наблюдаются в ходе функций возбуждения. Высота ступенек пропорциональна концентрации анализируемого элемента. Таким образом, облучая пробу протонами с энергией ниже и выше одного из конкретных резонансов данного элемента, можно получить информацию о его количественном содержании. Данный способ анализа был применен для определения содержания лития и бора. Чувствительности определения приведены в таблице.

Поступило в Редакцию 6/IV 1970 г.  
В окончательной редакции 4/V 1970 г.

## ЛИТЕРАТУРА

- С. П. Калинин, А. А. Оглоблин, Ю. М. Петров. «Атомная энергия», 2, 171 (1957).
- H. Rommel. Analyt. chim. acta, 34, 427 (1966).
- C. Engelman, G. Cabane. International conference, Modern trends in activation analysis. USA, Texac, College Station, 331 (1965).
- T. Nozaki et al. Nature, 190, 4770, 45 (1961).
- K. Saito et al. Int. J. Appl. Rad. and Isotopes, 14, 357 (1963).
- С. С. Васильев и др. «Атомная энергия», 25, 328 (1968).
- С. С. Васильев и др. «Заводск. лаборатория», № 3, 299 (1969).

## Получение интенсивных потоков нейтронов больших энергий на циклотроне при бомбардировке толстых мишней из лития и бериллия дейтонами с энергией 22 Мэв

В. К. ДАРУГА, Н. И. КРАСНОВ

УДК 621.384.633

В работе [1] приведены данные о выходе, энергетическом и угловом распределениях нейтронов при реакции  $Li + d$ . Показано, что бомбардировка дейтонами толстой мишени из вещества с малым  $z$  дает достаточно интенсивный поток нейтронов с энергией

10 Мэв и выше, пригодный для решения некоторых практических задач нейтронной физики и техники. При обработке результатов в работе [1] была использована характеристика детектора  $ZnS(Ag) +$  плексиглас, взятая из работы [2]. Последующая проверка

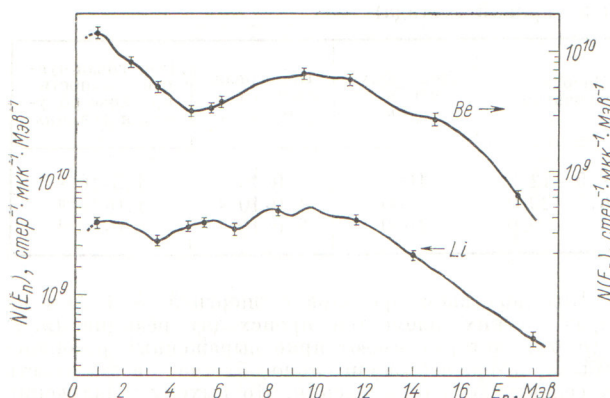


Рис. 1. Спектры нейтронов из литиевых и бериллиевых мишней.

показала, что эта характеристика не подходит для используемой нами таблетки — сцинтиллятора ZnS(Ag) + плексиглас стандартного типа Б-2. Уточнение данных работы [1], проведенное с учетом истинной характеристики этого порогового детектора, показало, что средний эффективный порог его равен

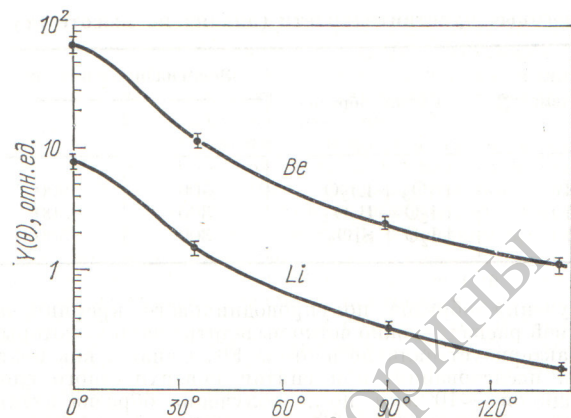


Рис. 2. Угловое распределение нейтронов литиевых и бериллиевых мишней.

выходов нейтронов разных энергетических групп приведены в таблице. Пороговый детектор ZnS(Ag) + плексиглас был использован для измерения отношения выходов  $Y(0^\circ)/Y(90^\circ)$  нейтронов с энергией  $E_n > 1,8$  МэВ (см. таблицу) и оценки углового распределения для  $E_n > 4$  МэВ (рис. 2).

#### Выход нейтронов, $\text{нейтр}/\text{стер}\cdot\text{мин}$ (при $\Theta = 0^\circ$ )

Мишень	$E_n > 0$	$E_n > 4$ МэВ	$E_n > 10$ МэВ	$E_n > 14$ МэВ	$\bar{E}_n$ , МэВ	$\frac{Y(0^\circ)}{Y(90^\circ)}$
Li	$7,3 \cdot 10^{10} \pm 8\%$	$5,7 \cdot 10^{10}$	$2,7 \cdot 10^{10}$	$0,9 \cdot 10^{10}$	9,4	11
Be	$9,1 \cdot 10^{10} \pm 8\%$	$5,5 \cdot 10^{10}$	$2,7 \cdot 10^{10}$	$0,8 \cdot 10^{10}$	7,3	12
Nb	$1,0 \cdot 10^{10} \pm 10\%$	—	—	—	—	5
U	$8,4 \cdot 10^{10} \pm 8,5\%$	—	—	—	—	4

$\sim 1,8$  МэВ и все абсолютные выходы, приведенные в работе [1], должны быть увеличены в 1,25 раза.

В настоящей работе выполнены измерения абсолютного выхода нейтронов всех энергий в направлении  $\Theta = 0^\circ$  (относительно бомбардирующего пучка дейтонов) из толстых литиевых, бериллиевых, ниобиевых и урановых мишней при помощи «всеволнового» детектора с  $\text{BF}_3$ -счетчиком типа СНМ-5 (см. таблицу). Энергия дейтонов равна  $22 \pm 1$  МэВ.

Как и в работе [4], был использован стильбеновый сцинтилляционный спектрометр для измерения спектров (под углом  $\Theta = 0^\circ$ ) нейтронов из литиевых и бериллиевых мишней (рис. 1). Точность нормировки спектра не хуже  $\pm 15\%$ . Средние энергии спектров и оценки

Авторы выражают искреннюю благодарность В. А. Дулину, Е. С. Матусевичу, Н. Н. Пальчикову за помощь в работе, А. Е. Романченко и А. А. Огнегу за подготовку циклотрона к эксперименту.

Поступило в Редакцию 6/IV 1970 г.

#### ЛИТЕРАТУРА

1. В. К. Даруга и др. «Атомная энергия», 24, 66 (1968).
2. С. Ф. Дегтярев и др. «Бюллетень Информационного центра по ядерным данным». Вып. 3. М., Атомиздат, 1966, стр. 459.